

ЗАТУХАНИЕ СИГНАЛА МАГНИТОУПРУГОГО ЯМР В $FeBO_3$

А.В. Иванов, В.Р. Корнеев,
А.П. Паугурт, И.В. Плешаков

В настоящее время в области ЯМР-исследований магнитоупорядоченных кристаллов большой интерес представляет выяснение механизмов взаимного влияния ядерной и акустической подсистем в веществах с большой магнитоупругой связью. Для легкоплоскостного слабого ферромагнетика $FeBO_3$ были рассмотрены случаи воздействия на ядерную спиновую систему через параметрически [1] и субгармонически возбужденные магнитоупругие колебания [2]. Этот же кристалл изучался и с точки зрения обычного ядерного магнитоакустического резонанса [3]. В работах [4, 5] наблюдались новые эффекты в поведении ядерной спиновой системы в $FeBO_3$, которые были объяснены с помощью модели магнитоупругого ЯМР. Модель предполагает, что в веществе с сильной магнитоупругой связью ядерные спины могут поглощать и излучать энергию через промежуточные магнитоупругие колебания, причем на этапе поглощения они возбуждаются переменным магнитным полем с частотой ФМР, а на этапе излучения представляют собой вынужденные колебания, вызванные неоднородной прецессией ядерной намагниченности. Этот тип ЯМР характеризуется своим коэффициентом усиления и динамическим сдвигом частоты. Наиболее сильно эффект магнитоупругого ЯМР должен проявляться в образцах, которые представляют собой акустический резонатор с частотой собственных колебаний, близкой к частоте ЯМР, ω_n . Поскольку в $FeBO_3$ скорость звука зависит от внешнего постоянного поля H , [6], существует возможность подстройки изготовленного из него резонатора. В [5] отмечено еще одно принципиальное свойство магнитоупругого ЯМР — по мере приближения поля к тому значению, при котором возникает акустический резонанс образца (H_{ac}), в силу возрастания радиационного затухания, связанного с переизлучением неоднородных колебаний ядерной намагниченности в звук, ядерная релаксация должна ускоряться. Для времени затухания магнитоупругого ЯМР в [5] получено выражение

$$\tau_m = \frac{2}{\omega_n} \cdot \frac{(H - H_{ac})^2 + \Delta H_{ac}^2}{H_{cav} \Delta H_{ac}}, \quad (1)$$

где ΔH_{ac} — ширина акустического резонанса, выраженного в единицах поля, H_{cav} — обменно-усиленное сверхтонкое поле.

На эксперименте радиочастотный импульс, кроме магнитоупругого ЯМР, возбуждает однородные колебания ядерной намагниченности — обычную ядерную индукцию, частота которой из-за различия динамических сдвигов отличается от частоты неоднородной

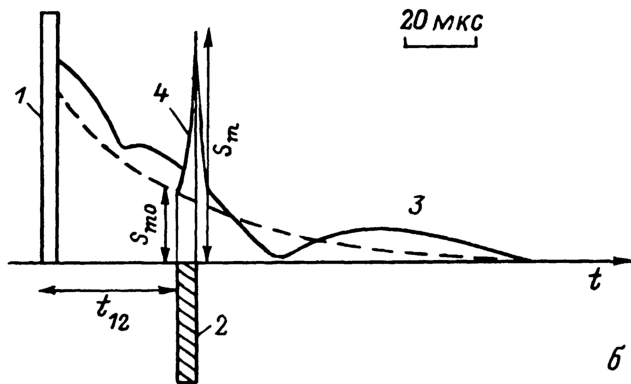
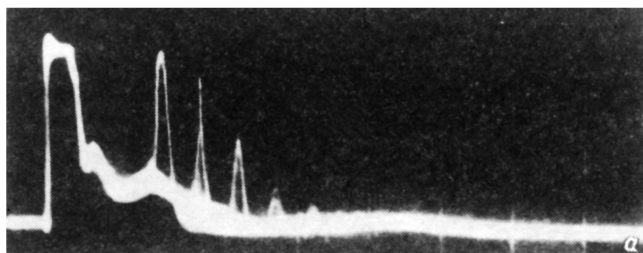


Рис. 1. Осциллограмма процесса параметрического усиления магнитоупругого ЯМР (а) и ее расшифровка (б). $H = 203$ Э, $\Delta\tilde{\omega} = 4$ мкс, $\Delta\tilde{2}\omega = 6$ мкс. 1 – резонансный импульс, 2 – параметрический импульс, 3 – осциллирующий сигнал индукции (пунктир – собственно магнитоупругий ЯМР), 4 – параметрически усиленный магнитоупругий ЯМР.

прецессии, а время спада T_2^* не зависит от поля. После возбуждающего импульса возникает суперпозиция магнитоупругого и обычного ЯМР и в результирующем сигнале индукции наблюдаются биения с периодом и глубиной модуляции, зависящими от H . Магнитоупругий ЯМР можно выделить из осциллирующего сигнала, используя параметрическое усиление промежуточных колебаний акустической подсистемы. Если постоянное поле модулировать с частотой, удвоенной по отношению к частоте магнитоупругих колебаний образца, последние параметрически усиливаются; максимальное усиление K_p зависит от скорости изменения частоты акустического резонанса с полем, амплитуды и длительности параметрического импульса. Таким способом можно усиливать и те колебания, которые вызваны движением ядерной намагниченности, т.е. магнитоупругий ЯМР [4, 5]. Если предположить, что сигналы магнитоупругого и обычного ЯМР сравнимы по интенсивности, а $K_p \gg 1$, для максимальной амплитуды усиленного магнитоупругого ЯМР S_m можно получить выражение

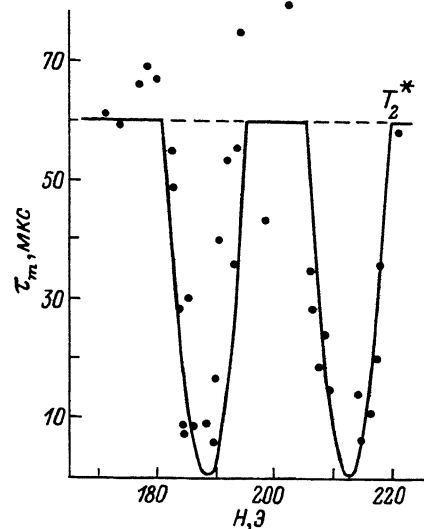
Рис. 2. Зависимость времени затухания магнитоупругого ЯМР от поля. Параболы приведены по формуле (1) при $H_{\alpha 1} = H_{\alpha 2} = 0.6$ Э. T_2^* - время затухания обычного (однородного) ЯМР.

$$S_m = S_{mo} K_p \exp(-t_{12}/\tau_m), \quad (2)$$

где S_{mo} - начальная амплитуда магнитоупругого ЯМР, t_{12} - временной интервал между первым (резонансным) и вторым (параметрическим) импульсами. Эта зависимость была использована для определения τ_m .

Измерения, как и в [4,5], проводились на образце $FeB0_3$ с размерами $2 \times 2 \times 0.2$ мм³. Все поля были приложены в плоскости легкого намагничивания кристалла, при этом поле резонансного импульса перпендикулярно, а параметрического - параллельно H . Первый импульс имел длительность $\Delta T_1 = 2 \div 5$ мкс и несущую частоту $\omega_1/2\pi = 75.4$ МГц, а второй соответственно $\Delta T_2 = 2 \div 10$ мкс и $\omega_2/2\pi = 150.8$ МГц. Импульсные последовательности поступали с периодом 1 с. На данной частоте возбуждалось два акустических резонанса при $H_{\alpha 1} = 188$ Э и $H_{\alpha 2} = 214$ Э. При температуре 77 К (образец находился в жидком азоте, который являлся акустической нагрузкой) в полях $50 < H < 300$ Э после резонансного импульса регистрировался сигнал индукции ядер ^{57}Fe .

В областях, близких к $H_{\alpha 1,2}$, наблюдались осцилляции, причем там, где они существовали, можно было усиливать сигнал индукции параметрическим импульсом, подававшимся в различные моменты времени на спаде индукции. Рис. 1 иллюстрирует этот эксперимент. Усиление K_p зависело от поля. Там, где K_p достаточно велико и глубина модуляции биений близка к единице (что свидетельствует о приблизительном равенстве амплитуд обычного и магнитоупругого ЯМР), можно пользоваться выражением (2) и по спадам усиленного сигнала от времени, снятым при разных H , получить зависимость $\tau_m(H)$. Она приведена на рис. 2. Теоретические кривые построены по формуле (1), в которую из работы [5] подставлено $H_{cr} = 0.6 \cdot 10^{-2}$ Э. Величина ΔH_{α} использована как подгоночный параметр и составляет 0.6 Э. Эффект уменьшения τ_m при $H \rightarrow H_{\alpha 1,2}$ наблюдается хорошо, однако вследствие большой погрешности измерений есть значительное расхождение в величине ΔH_{α} с данными работы [5], где $\Delta H_{\alpha} \approx 2.5$ Э. Малая точность связана с нестабильностью амплитуды



параметрически усиленного сигнала, которая возникает из-за случайного изменения разности фаз между первым и вторым импульсами. Сама погрешность изменяется в зависимости от поля, так как при отходе от резонанса K_p падает, уменьшается амплитуда сигнала и нарушается условие использования соотношения (2). Кроме того, на результат измерения τ_m влияют дополнительные моды малой интенсивности, находящиеся вблизи двух основных. Последние также могут воздействовать друг на друга, поскольку усиление магнитоупругого ЯМР за счет одной моды распространяется в область другой [5]. Следовательно, в действительности релаксация происходит по нескольким экспонентам.

Влияние указанных факторов не дает возможности привести в точное соответствие все количественные данные. Из эксперимента видно, что уменьшение времени затухания в области акустических резонансов существует, причем достаточно большое. Положения минимумов практически совпадают с акустическими резонансами. Интересен и сам факт зависимости параметрического усиления от поля. Поэтому приведенные результаты можно рассматривать как дополнительное качественное подтверждение модели магнитоупругого ЯМР.

Л и т е р а т у р а

- [1] Петров М.П., Иванов А.В., Корнеев В.Р., Андреева Г.Т. - ЖЭТФ, 1980, т. 78, № 3, с. 1147-1157.
- [2] Иванов А.В., Корнеев В.Р., Паугурт А.П. ФТТ, 1982, т. 24, № 3, с. 883-885.
- [3] Богданова, Х.Г., Багаутдинов Р.А., Голенищев-Кутузов В.А., Еникеева Г.Р., Медведев Л.И. - Письма в ЖЭТФ, 1986, т. 44, № 5, с. 219-221.
- [4] Петров М.П., Паугурт А.П., Плешаков И.В. Иванов А.В. - Письма в ЖТФ, 1987, т. 13, № 4, с. 193-196.
- [5] Петров М.П., Иванов А.В., Паугурт А.П., Плешаков И.В. - ФТТ, 1987, т. 29, № 6, с. 1819-1825.
- [6] Seavy M.H. - Sol. St. Commun., 1972, v. 10, No 2, p. 219-223.

Физико-технический
институт им. А.Ф. Иоффе
АН СССР,
Ленинград

Поступило в Редакцию
19 августа 1988 г.